

Chap 6 Ray & Tellurique dans l'atmosphère

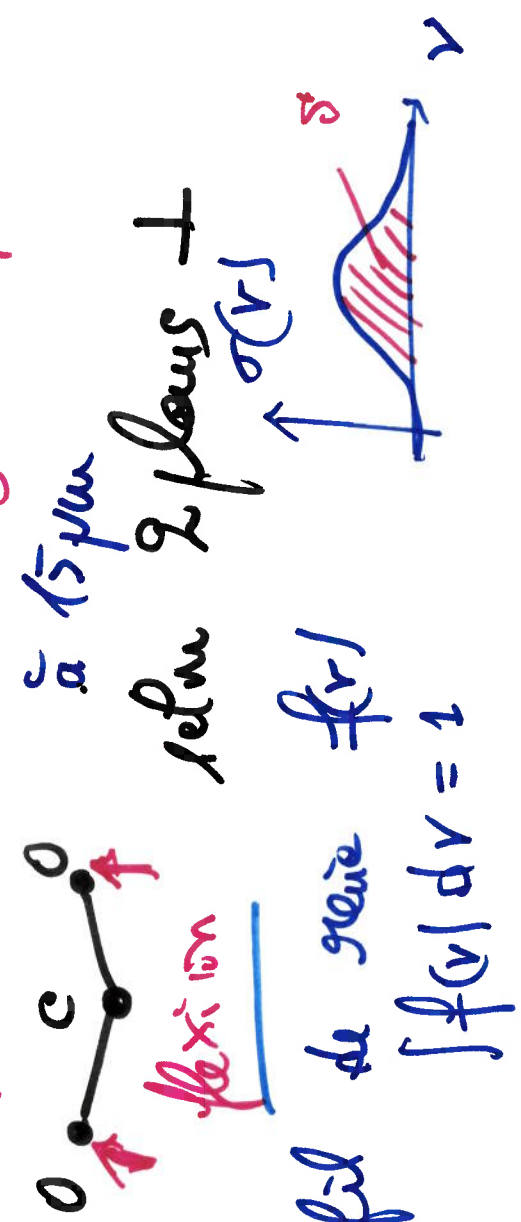
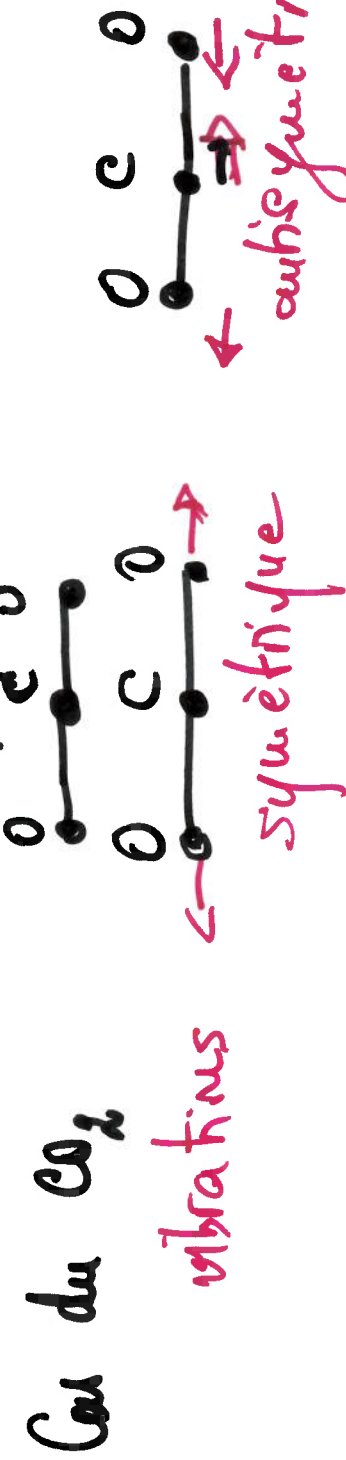
I Absorption au IR tellurique

1.1 Haute hauteur en IR

- majoritaires N_2 , O_2 + A spectre parvient
- autres courant triatomiques
- * H_2O troposphérique $1,6 \mu\text{m}$ solide lui s'avire $2,7 \mu\text{m}$, $4,3 \mu\text{m}$, $\frac{15 \mu\text{m}}{\text{CFC}}$
- * CO_2 stratosphérique $9,6 \mu\text{m}$ ds feuëtre $72 \cdot 15 \mu\text{m}$
- * O_3 -
- * CH_4 à $7,6 \mu\text{m}$, N_2O , CO , - nuages + aerosols

1-2 Spectres TR

Spécificité des grées → contexte à traiter
 grée pas grée → méthodes approximatives
 nappes en taillée par des voleurs de baux de superficie ou à géotrope des grées



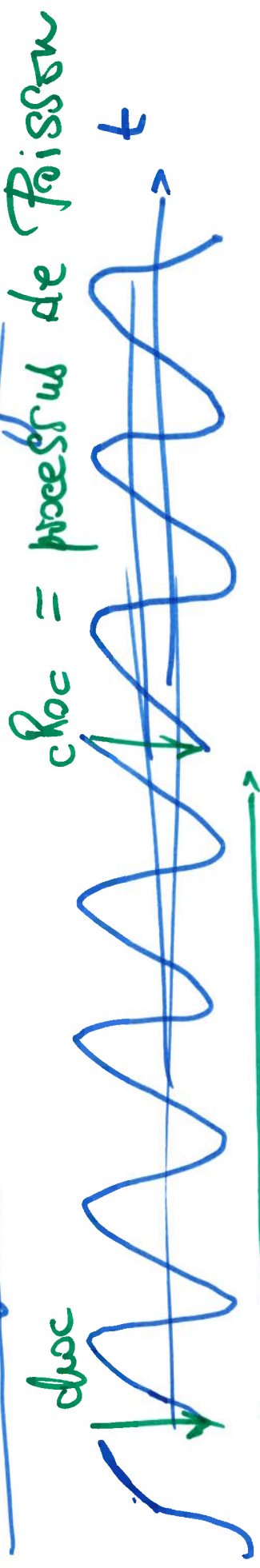
Force de grée S

profil de grée $f(y)$

$\int f(y) dy = 1$

③

I. 3 Elargissement collinéaire \rightarrow Preuve



$c_{\text{loc}} = \text{processus de Poisson}$

ΔT entre 2 choques successifs
collide \Rightarrow semi de phase \Rightarrow limitee durée du train d'onde
sinusoïde de durée α_T \rightarrow Durée en fréquence
 ΔT \rightarrow Amplitude & largeur
de l'onde $\sim \frac{1}{\Delta T}$

$\phi(\Delta T) = \frac{1}{\alpha} \exp(-\frac{\Delta T}{\alpha})$

ΔT n'est pas toujours stable

$\Phi = \text{durée moyenne entre les collisions}$

$\frac{1}{\Phi} = \alpha_L = \text{fréq des collisions}$

$\alpha_L \sim n_{\text{air}} \sqrt{\langle v^2 \rangle} \text{ a h } \sqrt{T}$

Collision \rightarrow Coordonnée

$$f_L(v) = \frac{\alpha'_L}{\pi} \frac{1}{(v - v_0)^2 + \alpha'^2_L}$$

$$f_L(v_0) = \frac{1}{\pi \alpha'_L}$$

$$\alpha'_L = \frac{1}{2} \text{ longueur à mi-hauteur} \quad f_L(v_0 \pm \alpha'_L) = \frac{1}{2} f_L(v_0)$$

Half width

$$\int_{-\infty}^{+\infty} f_L(v) dv = \frac{1}{\pi} \int_{-\infty}^{+\infty} \frac{dv}{(v - v_0)^2 + \alpha'^2_L} = \frac{1}{\pi} \int_{-\infty}^{+\infty} \frac{dx}{x^2 + 1} = 1$$

préposition défaut

$$\alpha'_{L0} = \alpha'_L (\beta=0) \approx 0,1 \text{ cm}^{-1}$$

$$\alpha'_L \sim \pi \sqrt{T} \sim \frac{1}{T} \sqrt{T} = \frac{P}{V T}$$

7.4 Élargissement Joffre \rightarrow Gaussien

$$\text{Effet Joffre} \quad \frac{\Delta V}{V_0} = \frac{N_{\text{radiot}}}{{C}} \quad \text{!}$$

Distribution des antennes : Boltzmann pour le modèle
 1 composante $\hat{v} = \text{vitesse} \text{ au niveau}$

$$\begin{aligned} f(v) &= \frac{1}{\sqrt{2\pi}} \sqrt{\frac{m}{kT}} \exp\left(-\frac{mv^2}{2kT}\right) \\ \Rightarrow f_J(v) &= \frac{1}{\sigma_J \sqrt{2\pi}} \exp\left[-\frac{(v - v_0)^2}{2\sigma_J^2}\right] \end{aligned}$$

$$\begin{aligned} \sigma_J &= \text{écart-type} = \frac{v_0}{C} \sqrt{\frac{kT}{m}} \sim \text{vitesse} \\ \text{S.t. } \sigma_J &= 1/\lambda \text{ distance à mi-hauteur} \\ \exp\left[-\frac{1}{2} \left(\frac{v_0}{\sigma_J}\right)^2\right] &= \frac{1}{2} \quad \left(\frac{\sigma_J}{\sigma_D}\right)^2 = \frac{\ln 2}{\sigma_D^2} = \frac{1}{\sigma_D^2} \sqrt{2 \ln 2} \end{aligned}$$

(5)

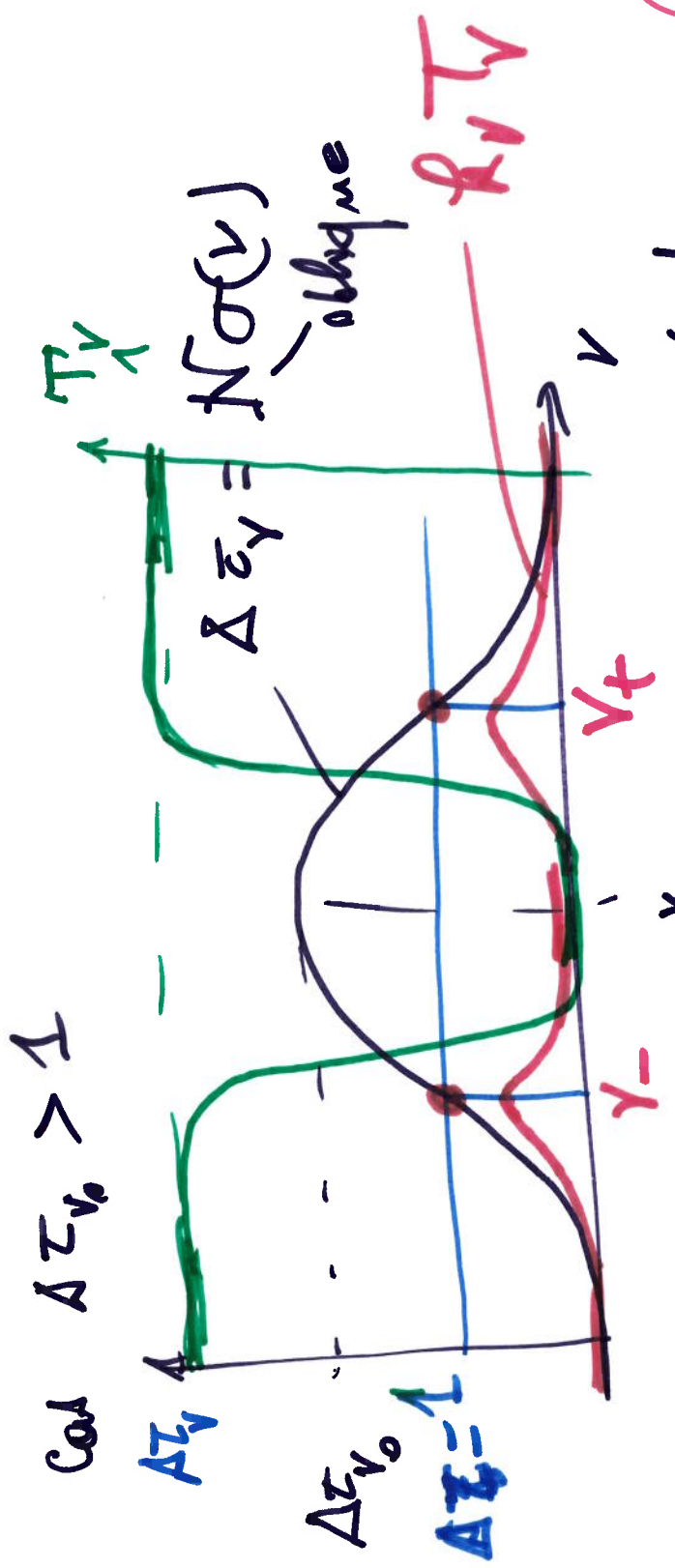
1.5 profil de Voigt = collision + Doppler

$$\frac{N_e}{N_D} \propto \frac{P}{V_T} \times \frac{1}{\sqrt{T}} = \frac{\rho}{T} \sim n$$

\Rightarrow Collisionnées prédominantes dans l'émissivité dans couches épaisses
 \Rightarrow Collisionnées dominante
lorsqu'elles dominent
 $z \leq 30 \text{ fm}$
 $z \geq 30 \text{ fm}$
1.6 saturation de l'absorption

$A_Y(\Delta z_Y) = 1 - T_Y(\Delta z_Y)$
 $\downarrow \Delta z_Y \rightarrow \text{finie}$
 $T_Y \sim 1 - \Delta z_Y$
mais $\Delta z_Y \geq 1$
 $\rightarrow T_Y \text{ n'est pas finie}$

7



absorbé dans la couche, par unité de distance

$$R_V T_V = n \sigma(v) \exp \left[-N \sigma(v) \right]$$

$$\min_{\text{en } v_0}$$

$$\max_{\text{en } v_0}$$

à quelle fréq $R_V T_V$ est-elle max ?
max d'absorption flux au centre, mais s'élargit vers les ailes

Parameteroptimierung simple

8

$$\sigma(v) = \sigma(v_0) \exp[-g(v)]$$

$$g(v_0) = 0 \quad (v - v_0) \rightarrow \infty \quad g(v) \geq 0 \quad g(v) \rightarrow \infty$$

θ : γ^* f. q.

$$k_v T_v = n \sigma_0 \exp\left(-g(v) / \Delta z_0 e^{-g(v)}\right)$$

$$\Delta z_v = \frac{\delta}{\delta v} + g'(v) (\Delta z_v - 1)$$

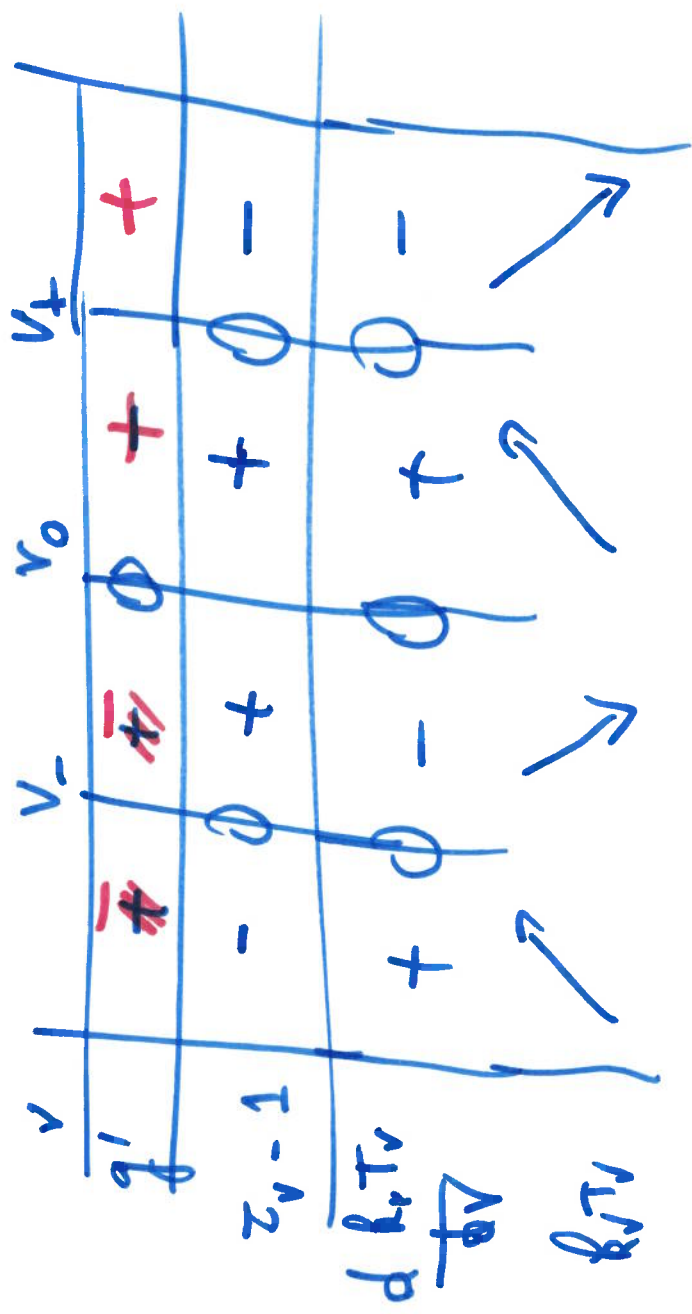
$$-g'(v) + \Delta z_0 \frac{\partial}{\partial v} g(v) = 0$$

$$\frac{d \ln k_v T_v}{d v} = 0 \quad \int_{v_0}^v g'(v) = 1 \quad \Delta z_v > 1 \quad \text{impraktisch abs. falsch}$$

$$\Delta z_v < 1 \quad \text{möglich abs. falsch}$$

(5)

$$\bar{s}_i \Delta v_0 > 1 \quad \text{under } Y_{\pm} + g \cdot A \bar{\varepsilon}_{Y_{\pm}} = 1$$



calcul pour bandes spectrales de largeur $\Delta\bar{\nu}$
 $\delta\nu \rightarrow$ largeur de la grille

$$f(\Delta\bar{\nu}) = \frac{1}{\Delta\nu} \int_{\bar{\nu}-\frac{\Delta\nu}{2}}^{\bar{\nu}+\frac{\Delta\nu}{2}} (\Delta\tau_{\bar{\nu}}) d\nu$$

idem pour absorption

$$f(\Delta\bar{\nu}) = 1 - e(\Delta\bar{\nu})$$

N = contenu grille d'absorbant

* absorption fond. $\Delta\tau_{\bar{\nu}}$

$$f(\Delta\bar{\nu}) \approx \Delta\tau_{\bar{\nu}} \sim S, N.$$

* absorption satellite

$$f(\Delta\bar{\nu}) \approx \sqrt{\alpha_L S N} \sim \sqrt{P(SN)} N^{1/2} \sqrt{\rho_{air}}$$

$\alpha_L =$ rapport de mélange